

Синтез монотрифторметилзамещенных производных 2*H*-тиета, дигидротиофена и 2*H*-тиопирана

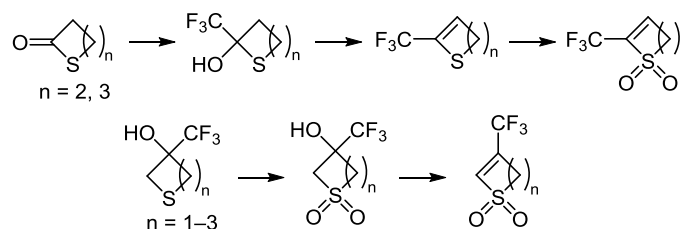
Сергей А. Сирый¹, Вадим М. Тимошенко^{1*}, Тимофей В. Руденко^{1,2},
Юрий Н. Маркитанов¹, Эдуард Б. Русанов¹, Юрий Г. Шермолович¹

¹ Институт органической химии НАН Украины,
ул. Мурманская, 5, Киев 02094, Украина; e-mail: vadim@ioch.kiev.ua

² НПО "Енамин",
ул. Красноткацкая, 78, Киев 02094, Украина

Поступило 21.01.2022

Принято 2.02.2022



Циклические кетосульфиды (тиетан-3-он, тетрагидротиофен-3-он, γ -тиобутиролактон, δ -тиовалеролактон, тиопиран-3-он и тиопиран-4-он) взаимодействуют с трифторметилтриметилсиланом (реагентом Рупперта–Пракаша) с образованием трифторметилзамещенных гидроксисульфидов, которые последовательными реакциями окисления и дегидратации образуют монотрифторметилзамещенные циклические ненасыщенные сульфоны. Показано, что двойная связь в полученных соединениях активна к действию нуклеофильных реагентов, таких как аминсоединения и 1,3-диполи.

Ключевые слова: винилсульфон, дигидротиопиранон, кетосульфид, реагент Рупперта–Пракаша, тиолактон, трифторметил.

Особое внимание химиков, занимающихся синтезом биологически активных соединений, привлекают фторсодержащие гетероциклические соединения, потому что именно гетероциклы часто играют ключевую роль в биохимических процессах. В частности, это обусловлено, например, тем, что введение трифторметильной группы в молекулу обычно повышает ее липофильность. Этот эффект вносит существенный вклад в усвоение биологически активных веществ организмом и ускоряет их миграцию через биомембраны. Введение трифторметильной группы в молекулу вызывает также подавление возможных побочных эффектов, связанных с процессами метаболизма.

Трифторметилированные гетероциклы, содержащие только одну трифторметильную группу, непосредственно присоединенную к циклу, относятся к быстроразвивающимся классам органических соединений, потенциал применения которых особенно заметен в медицинской химии и агрохимии.¹ Минимально замещенные трифторметилированные гетероциклы также могут служить перспективными исходными соединениями для создания лекарств на их основе.²

В настоящее время известны методы синтеза трифторметилпроизводных всех основных классов гетероциклов, однако количество известных примеров для каждого из классов существенно отличается. В то время как трифторметильные производные тиофенов и тиопиранов, содержащие различные заместители у атомов углерода цикла, известны и хорошо изучены,³ представляется удивительным тот факт, что в литературе почти нет сведений о синтезе монотрифторметильных производных представителей таких простых классов серосодержащих гетероциклов, как незамещенные тиетан, тиолан (тетрагидротиофен) и тиан (тетрагидротиопиран). Имеющиеся в литературе примеры получения трифторметилзамещенных производных тиолан-*S,S*-диоксида заключаются в радикальном^{4a} или электрохимическом^{4b} трифторметилировании сульфолена и не представляют препаративного интереса из-за образования смесей соединений.

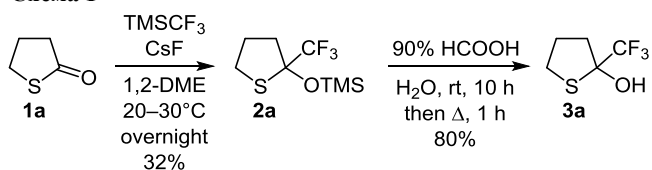
В настоящей работе мы сообщаем о неописанных ранее синтезах и некоторых химических свойствах простейших производных четырех-, пяти- и шестичленных насыщенных серосодержащих гетероциклов:

3-(трифторметил)тиетан-3-ола (**3e**), 2-(трифторметил)-тетрагидротиофен-2-ола (**3a**), 3-(трифторметил)тетрагидротиофен-3-ола (**3c**), 2-(трифторметил)тетрагидро-2*H*-тиопиран-2-ола (**3b**), 3-(трифторметил)тетрагидро-2*H*-тиопиран-3-ола (**3d**) и 4-(трифторметил)тетрагидро-2*H*-тиопиран-4-ола (**3f**).

Соединения **3a–f** образуются в результате реакции трифторметилтриметилсилана (реагента Рупперта–Пракаша, TMSCF_3) с соответствующими гетероциклическими карбонильными соединениями в условиях, обеспечивающих нуклеофильное присоединение трифторметильного аниона к группе $\text{C}=\text{O}$. Метод этот широко применяется в синтезах ациклических трифторметилалканолов⁵ и хорошо изучен на примерах реакций с кетонами, альдегидами, эфирами и лактонами. В то же время информация о присоединении реагента Рупперта–Пракаша к тиолактонам в открытой литературе отсутствует. Поэтому мы изучили нуклеофильное трифторметилирование тиолактонов **1a, b**. Было исследовано влияние растворителя, катализатора и температуры реакции на ее протекание.

Использование ДМФА как растворителя и таких катализаторов, как CsF , KF , Cs_2CO_3 , K_2CO_3 , *N*-метилморфолиноксид, для реакции TMSCF_3 с тиобутиролактоном **1a** приводило к образованию смолообразных продуктов. В среде ТГФ и моноглима одни катализаторы (*N*-метилморфолиноксид, KF , Bu_4NF) были совершенно неактивны, другие (Me_4NF , Cs_2CO_3 , K_2CO_3) вызывали осмоление и разложение TMSCF_3 . Более эффективным оказалось использование CsF в моноглиме, но коммерчески доступный CsF имеет разную активность, и с некоторыми образцами изучаемая реакция не проходила совсем. Применение мелкодисперсного CsF , полученного термическим разложением безводного $\text{CF}_3\text{CO}_2\text{Cs}$,⁶ давало наиболее воспроизводимые результаты. Но даже при оптимальных условиях (моноглим, 20–30°C) продукт присоединения к тиобутиролактону **1a**, соединение **2a**, удалось получить только с выходом 32% (схема 1). Указанный температурный интервал оказался оптимальным для этой реакции, а также и для всех остальных исследованных нами в этой работе. При более низких температурах реакция не идет, при более высоких происходит разложение реагента Рупперта–Пракаша с выделением газообразных продуктов.

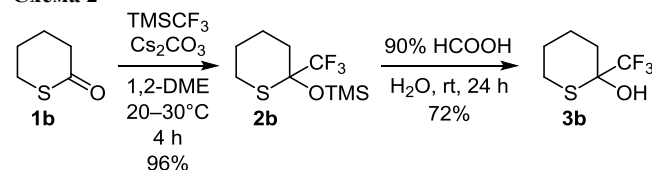
Схема 1



Оптимальными условиями для десилилирования соединения **2a** является использование водной муравьиной кислоты при комнатной температуре, что приводит к получению гидрокситиолана **3a** с высоким выходом. В отличие от реакции лактона **1a**, для присоединения реагента Рупперта–Пракаша к шестичленному гомологу **1b** применение Cs_2CO_3 показало

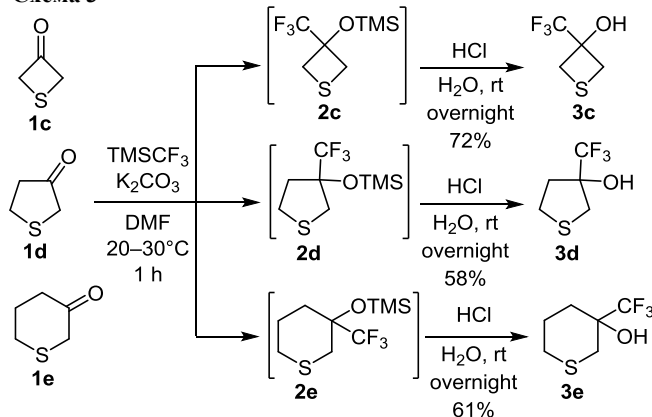
наилучший результат среди изученных катализаторов, и аддукт **2b** был получен с выходом 96%. Десилилирование соединения **2b** приводит к гидроксипроизводному **3b** с высоким выходом (схема 2).

Схема 2



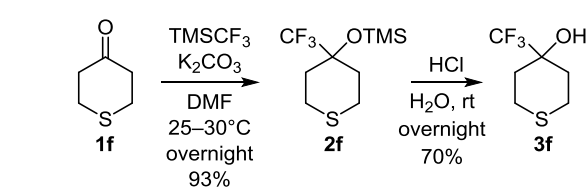
Подобным образом происходит и присоединение реагента Рупперта–Пракаша к циклическим β-кетосульфидам **1c–e**. Для проведения реакции мы использовали несколько измененную литературную методику.^{5c} Оптимальными условиями оказалось применение ДМФА как растворителя и K_2CO_3 как катализатора. Применение других растворителей и катализаторов не давало никаких преимуществ или даже ухудшало результат. Продукты непосредственного присоединения **2c–e** оказались гидролитически неустойчивыми, поэтому их без выделения гидролизировали до гидроксипроизводных **3c–e** добавлением в реакционные смеси HCl (схема 3).

Схема 3



В аналогичных условиях происходит и присоединение TMSCF_3 к тиопиран-4-ону (**1f**). В этом случае силильное производное **2f** удается выделить, и в результате его гидролиза в присутствии HCl гидроксипроизводное **3f** получают с выходом 70% (схема 4).

Схема 4

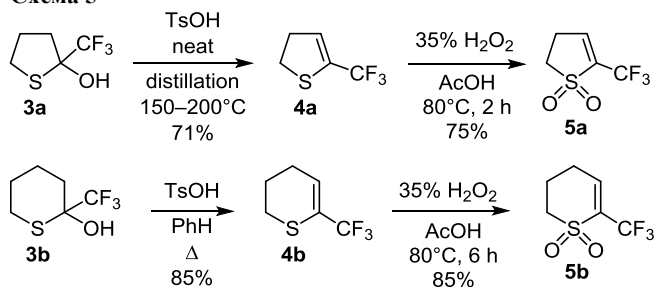


Соединения **3a–f** являются представителями трифторметилсодержащих третичных спиртов с расположением групп CF_3 и OH у одного атома углерода. Следует отметить, что подобные спирты ациклического строе-

ния находят применение в качестве биологически активных веществ⁷ и как реагенты в синтезах материалов для электроники или при получении биоактивных молекул более сложного строения.⁸ Мы изучили возможность применения соединений **3a–f** для синтеза других типов реакционноспособных гетероциклов, содержащих трифторметильную группу.

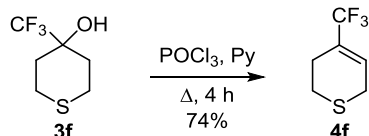
Соединения **3a,b** легко отщепляют H₂O при умеренном нагревании в присутствии кислотного катализатора. Очевидно, что данные реакции происходят по механизму E1 через образование карбокатионного интермедиата, стабилизирующегося атомом серы. Таким образом с высокими выходами были получены дигидроотиофен **4a** и дигидротиопиран **4b**. Атом серы в соединениях **4a,b** легко окисляется H₂O₂ в AcOH с образованием соответствующих сульфонов **5a,b** (схема 5).

Схема 5



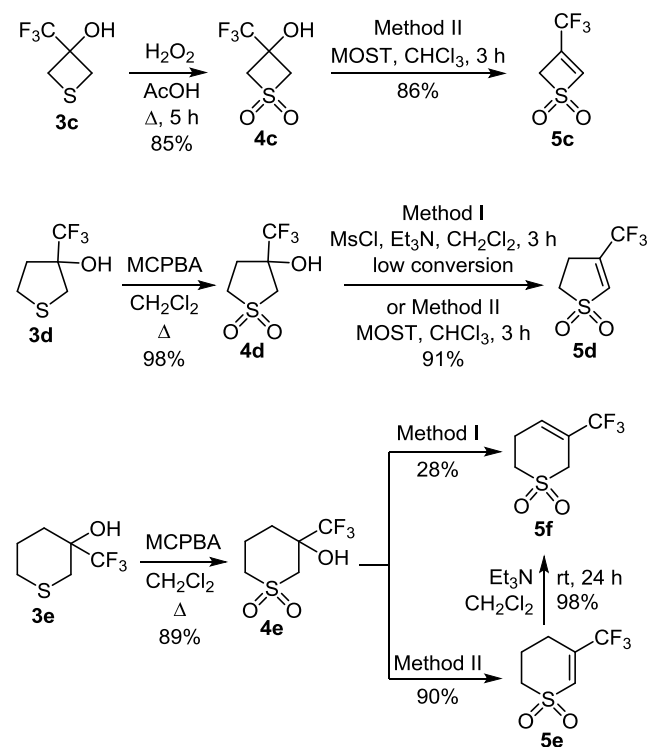
Для дегидратации гидроксисульфида **3f** удобным оказалось кипячение с POCl₃ в пиридине, что привело к дигидротиопирану **4f** с выходом 74% (схема 6).

Схема 6



В отличие от циклических сульфидов **3a,b**, β-гидроксисульфиды **3c–e** в аналогичных условиях не дегидратируются. Соединения **3d,e** выдерживают кипячение с TsOH без растворителя, а также могут быть отогнаны из их смесей с P₂O₅ при 150–180°C. Очевидно, что E1-элиминирование в этих случаях протекает не так легко, как для соединений **3a,b** из-за отсутствия благоприятно размещенного атома серы, который мог бы стабилизировать карбокатионный интермедиат. Поэтому мы изучили возможность реализации элиминирования по механизму E2, окислив атом серы до сульфонильной группы для увеличения СН-кислотности метиленовой группы в α-положении и превратив гидроксильную группу в хорошую уходящую группу. Сульфон **4c** был получен при окислении сульфида **3c** H₂O₂ в AcOH, а для окисления гидроксисульфидов **3d,e** до сульфонов **4d,e** использовали *m*-хлорпероксибензойную кислоту (схема 7). Стандартная процедура дегидратации (обработка метансульфохлаоридом для превращения в сульфонат с последующим элиминированием при действии основания, метод I) для гидроксисульфонов **4c–d** оказалась малоподходящей. Сульфон **4d** при такой обработке дает целевое соединение **5d**, но с низкой конверсией даже при использовании большого избытка реагентов и при нагревании.

Схема 7



Сульфон **4e** в таких же условиях (метод I) также взаимодействует с низкой конверсией, но при этом образуется не целевое соединение **5e**, а сульфон **5f** с другим положением двойной связи (схема 7). Это можно объяснить изомеризацией α,β-ненасыщенного сульфона **5e** в β,γ-ненасыщенный сульфон **5f** при действии основания. Аналогичные винилаллильные перегруппировки характерны для других шестичленных, а также алифатических ненасыщенных сульфонов.⁹ Движущей силой изомеризации является повышенная термодинамическая устойчивость β,γ-ненасыщенных сульфонов по сравнению с α,β-ненасыщенными.

Альтернативой обычной процедуре дегидратации (метод I) является обработка гидроксисульфонов такими дегидратирующими агентами, как диалкиламинотрифторсульфураны, использование которых как реагентов для дегидратации третичных спиртов было ранее описано в литературе.¹⁰

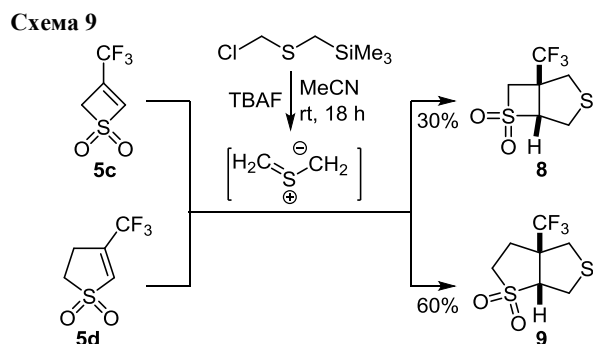
Мы нашли, что при обработке сульфонов **4c–e** морфолинтрифторсульфураном (MOST) в CHCl₃ в мягких условиях происходит образование ожидаемых α,β-ненасыщенных сульфонов **5c–e** с высокими выходами (метод II), при этом ни продукты замещения гидроксила на атом фтора, ни β,γ-ненасыщенные сульфоны не образуются (схема 7). Также мы нашли, что выделенный сульфон **5e** при действии основания практически количественно изомеризуется в сульфон

5f, что объясняет невозможность получения сульфона **5e** по методу I. Примечательно, что пятичленный сульфенон **5d** не изомеризуется в аналогичных условиях.

Двойная связь в полученных трифторметилзамещенных циклических ненасыщенных сульфенах, благодаря наличию электроноакцепторных трифторметильной группы и сульфонильного фрагмента, достаточно активна, что мы показали на нескольких модельных реакциях. В частности, наиболее реакционно-способный 3-(трифторметил)-2*H*-тиет-*S,S*-диоксид (**5c**) легко присоединяет аммиак и глицин с образованием замещенных тиетан-*S,S*-диоксидов **6**, **7** (схема 8).



Как и их ациклические аналоги – трифторметилвинилсульфоны¹¹ – соединения **5** также могут выступать дипольрофилами в реакциях [3+2]-циклоприсоединения. При взаимодействии с незамещенным тиокарбониллидом, генерируемым из хлорметилтриметилсилилметилсульфида при действии TBAF в MeCN получены аннелированные бисгетероциклы **8** и **9** (схема 9). Другие примеры реакций циклоприсоединения сульфенов **5**, а именно – с азометинилидом, были описаны нами в недавней статье.¹²



Цис-расположение узловых трифторметильной группы и атома водорода было определено с помощью рентгеноструктурного исследования бицикла **8** (рис. 1) и с помощью двумерной спектроскопии ЯМР соединения **9** (рис. 2).

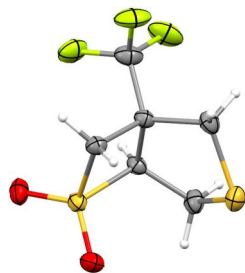


Рисунок 1. Молекулярная структура соединения **8** в представлении атомов эллипсоидами тепловых колебаний с 50% вероятностью.

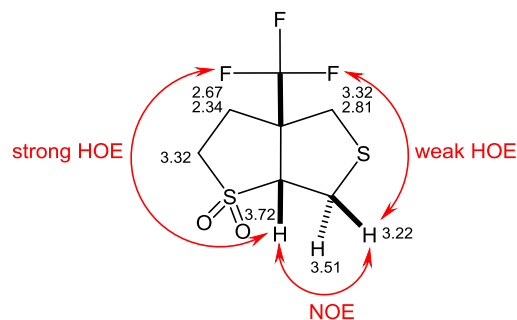


Рисунок 2. Найденные корреляции в спектрах NOESY и ¹H-¹⁹F HOESY соединения **9** (δ, м. д.).

Таким образом, нами показано, что алициклические кетосульфиды легко присоединяют реагент Рупперта–Пракаша, образуя монотрифторметилзамещенные спирты, которые являются хорошими исходными соединениями для получения новых реакционноспособных гетероциклических блоков с трифторметильной группой.

Экспериментальная часть

Спектры ЯМР ¹H, ¹⁹F и ¹³C зарегистрированы на приборах Bruker с рабочими частотами 400 МГц для ядер ¹H, 376 МГц для ядер ¹⁹F и 100, 126, 151 МГц для ядер ¹³C в CDCl₃ или DMSO-*d*₆. Внутренние стандарты – остаточные сигналы растворителя (CDCl₃: 7.26 м. д. для ядер ¹H и 77.2 м. д. для ядер ¹³C, DMSO-*d*₆: 2.50 м. д. для ядер ¹H и 39.5 м. д. для ядер ¹³C), C₆F₆ (–162.90 м. д. относительно CFC₃ для ядер ¹⁹F). Хромато-масс-спектры (ГХ/МС) записаны на приборе Hewlett-Packard 5890/5972 при 70 эВ в режиме ЭУ. Масс-спектры зарегистрированы на приборе Agilent 1100 Series, оснащенном диодно-матричным и масс-селективным детектором Agilent LC/MSD SL, химическая ионизация при атмосферном давлении. Данные элементного анализа получены в лаборатории аналитической химии Института органической химии НАН Украины методом экспресс-гравиметрии (C, H) и методом сжигания по Шёнигеру (S). Температуры плавления определены на приборе Voetius. Контроль за ходом реакций осуществлен методом спектроскопии ЯМР ¹⁹F реакционных смесей. Для колоночной хроматографии использован силикагель марки Merck 60 (70–230 мкм), для тонкослойной хроматографии – пластины марки SUPELCO[®] Analytical, UV254.

Растворители предварительно высушены и очищены перегонкой согласно стандартным методикам. Коммерчески доступные K₂CO₃ и Cs₂CO₃ использованы прокаленными до постоянного веса на воздухе при 350–400°C и растертыми в порошок непосредственно перед проведением реакций.

CsF. Насыщенный водный раствор Cs₂CO₃ нейтрализуют трифторуксусной кислотой и полученный водный раствор CF₃CO₂Cs концентрируют при пониженном давлении. Остаток расплавляют (115–120°C, 10–15 мм рт. ст.) и сушат до постоянного веса. Полученный безводный CF₃CO₂Cs медленно нагревают на масляной бане при давлении 10–15 мм рт. ст. до начала разложения и

выдерживают при 200–250°C, периодически встряхивая, до окончания видимого выделения газообразных продуктов и образования однородного сероватого порошка. Выход CsF практически количественный.

Триметил{2-(трифторметил)тетрагидро-2-ил}окси}силан (2а). К CsF, полученному по описанной выше методике из 0.163 г (0.5 ммоль) Cs₂CO₃, добавляют 10 мл 1,2-диметоксиэтана и 1.02 г (10 ммоль) γ -тиобутиролактона (**1а**). К полученной суспензии по каплям при интенсивном перемешивании добавляют 4.26 г (30 ммоль) TMSCF₃, поддерживая температуру 20–30°C охлаждением ледяной H₂O. После окончания добавления охлаждение убирают и смесь оставляют при перемешивании на ночь. Затем добавляют 10 мл гексана, смесь фильтруют, осадок на фильтре дополнительно промывают 10 мл гексана, фильтрат концентрируют и остаток перегоняют при пониженном давлении. Выход 0.78 г (32%), бесцветная жидкость, т. кип. 80–85°C (14 мм рт. ст.). Спектр ЯМР ¹H (400 МГц, CDCl₃), δ , м. д. (*J*, Гц): 0.21 (9H, с, (CH₃)₃Si); 2.05–2.25 (4H, м, 3,4-CH₂); 2.95–3.05 (1H, м, 5-CH₂); 3.06–3.15 (1H, м, 5-CH₂). Спектр ЯМР ¹³C (100 МГц, CDCl₃), δ , м. д. (*J*, Гц): 1.8 (с, (CH₃)₃Si); 29.1, 34.2, 41.6 (все с, C-3–5); 94.6 (к, *J*_{CF} = 31, C-2); 125.0 (к, *J*_{CF} = 283, CF₃). Спектр ЯМР ¹⁹F (376 МГц, CDCl₃), δ , м. д.: –79.51 (с, CF₃). Масс-спектр, *m/z* (*I*_{отн.}, %): 244 [M]⁺ (12), 229 [M–CH₃]⁺ (21), 175 [M–CF₃]⁺ (89), 133 (100), 105 (39), 85 (35), 73 (66), 45 (19). Найдено, %: С 39.25; Н 6.10; S 13.19. C₈H₁₅F₃OSSi. Вычислено, %: С 39.32; Н 6.19; S 13.12.

Триметил{2-(трифторметил)тетрагидро-2H-тиопиран-2-ил}окси}силан (2б). К суспензии 5.81 г (50 ммоль) δ -тиовалеролактона (**1б**) и 1.63 г (5 ммоль) Cs₂CO₃ в 25 мл 1,2-диметоксиэтана при перемешивании добавляют 10.66 г (75 ммоль) TMSCF₃, регулируя скоростью добавления температуру реакционной смеси в интервале 20–30°C без внешнего охлаждения. Затем смесь перемешивают в течение 4 ч, разбавляют 60 мл гексана, фильтруют, фильтрат промывают H₂O (4 × 25 мл), сушат Na₂SO₄ и упаривают при пониженном давлении, получая практически чистое соединение **2б**. Выход 12.40 г (96%), бесцветная жидкость. Спектр ЯМР ¹H (400 МГц, CDCl₃), δ , м. д. (*J*, Гц): 0.24 (9H, с, (CH₃)₃Si); 1.66–1.84 (3H, м, CH₂); 1.86–1.95 (1H, м, CH₂); 1.96–2.10 (2H, м, CH₂); 2.64–2.73 (1H, м, 6-CH₂ экв.); 2.85 (1H, д. д. д, *J* = 11.5, *J* = 11.5, *J* = 2.0, 6-CH₂ акс.). Спектр ЯМР ¹³C (100 МГц, CDCl₃), δ , м. д. (*J*, Гц): 1.9 (с, (CH₃)₃Si); 20.7, 25.8, 27.0, 34.9 (все с, C-3–6); 81.6 (к, *J*_{CF} = 30, C-2); 125.1 (к, *J*_{CF} = 286, CF₃). Спектр ЯМР ¹⁹F (376 МГц, CDCl₃), δ , м. д.: –80.79 (с, CF₃). Масс-спектр, *m/z* (*I*_{отн.}, %): 258 [M]⁺ (19), 189 [M–CF₃]⁺ (91), 99 (39), 87 (28), 85 (26), 77 (46), 73 (100), 45 (22). Найдено, %: С 41.80; Н 6.58; S 12.49. C₉H₁₇F₃OSSi. Вычислено, %: С 41.84; Н 6.63; S 12.41.

Триметил{4-(трифторметил)тетрагидро-2H-тиопиран-4-ил}окси}силан (2г). К суспензии, содержащей 0.28 г (2 ммоль) безводного K₂CO₃ и 2.32 г (20 ммоль) тиопиран-4-она (**1г**) в 10 мл ДМФА добавляют 3.56 г (25 ммоль) TMSCF₃ с такой скоростью, чтобы температура держалась в интервале 25–30°C, и смесь остав-

ляют на ночь при комнатной температуре. Смесь разбавляют 40 мл МТБЭ и перемешивают с ~20 г льда до его растаивания. Органическую фазу отделяют, промывают H₂O (4 × 10 мл), фильтруют через тонкий слой силикагеля и упаривают. Выход 4.79 г (93%), бледно-желтое масло. Спектр ЯМР ¹H (400 МГц, CDCl₃), δ , м. д. (*J*, Гц): 0.18 (9H, с, (CH₃)₃Si); 1.86 (2H, д. д. д, *J* = 13.5, *J* = 12.6, *J* = 3.5, 3,5-CH₂ акс.); 2.07 (2H, д. д. д, *J* = 13.5, *J* = 3.5, *J* = 2.3, 3,5-CH₂ экв.); 2.44 (2H, д. д. д, *J* = 14.0, *J* = 3.5, *J* = 3.5, 2,6-CH₂ экв.); 2.97 (2H, д. д. д, *J* = 14.0, *J* = 12.6, *J* = 2.3, 2,6-CH₂ акс.). Спектр ЯМР ¹³C (100 МГц, CDCl₃), δ , м. д. (*J*, Гц): 1.8 (с, (CH₃)₃Si); 23.0 (с, C-2,6); 32.2 (с, C-3,5); 74.6 (к, *J*_{CF} = 28, C-4); 125.9 (к, *J*_{CF} = 286, CF₃). Спектр ЯМР ¹⁹F (376 МГц, CDCl₃), δ , м. д.: –83.93 (с, CF₃). Масс-спектр, *m/z* (*I*_{отн.}, %): 258 [M]⁺ (22), 168 [M–TMSOH]⁺ (51), 119 (13), 99 (100), 73 (61), 45 (21). Найдено, %: С 41.80; Н 6.69; S 12.49. C₉H₁₇F₃OSSi. Вычислено, %: С 41.84; Н 6.63; S 12.41.

2-(Трифторметил)тетрагидро-2H-тиопиран-2-ол (3а). Сырой продукт **2а**, полученный как описано выше из 36.78 г (360 ммоль) γ -тиобутиролактона (**1а**), 132.24 г (930 ммоль) TMSCF₃ и CsF (полученный из 20 ммоль Cs₂CO₃) в 400 мл 1,2-диметоксиэтана, без перегонки, добавляют к смеси 60 мл 90% HCOOH и 20 мл H₂O. Полученную эмульсию интенсивно перемешивают в течение 10 ч и дополнительно кипятят в течение 1 ч. После охлаждения смесь концентрируют, разбавляют 200 мл H₂O и экстрагируют CH₂Cl₂ (6 × 50 мл). Органическую фазу промывают H₂O (4 × 25 мл), сушат Na₂SO₄, растворитель упаривают при пониженном давлении и остаток перегоняют при пониженном давлении. Выход соединения **3а** после двух стадий 25.31 г (41%), бесцветная жидкость, т. кип. 67–69°C (15 мм рт. ст.). Спектр ЯМР ¹H (400 МГц, CDCl₃), δ , м. д. (*J*, Гц): 2.05–2.15 (1H, м, CH₂); 2.20–2.34 (3H, м, CH₂); 3.00–3.08 (1H, м, 5-CH₂); 3.15–3.22 (1H, м, 5-CH₂). Спектр ЯМР ¹³C (100 МГц, CDCl₃), δ , м. д. (*J*, Гц): 29.3, 34.2, 39.4 (все с, C-3–5); 92.8 (к, *J*_{CF} = 31, C-2); 125.0 (к, *J*_{CF} = 282, CF₃). Спектр ЯМР ¹⁹F (376 МГц, CDCl₃), δ , м. д.: –79.39 (с, CF₃). Масс-спектр, *m/z* (*I*_{отн.}, %): 172 [M]⁺ (51), 103 [M–CF₃]⁺ (100), 85 (10), 69 [CF₃]⁺ (19), 45 (14). Найдено, %: С 34.80; Н 4.04; S 18.80. C₅H₇F₃OS. Вычислено, %: С 34.88; Н 4.10; S 18.62.

2-(Трифторметил)тетрагидро-2H-тиопиран-2-ол (3б). К смеси 50 мл 90% HCOOH и 10 мл H₂O добавляют 19.87 г (77 ммоль) соединения **2б**. Образующуюся эмульсию перемешивают в течение 24 ч при комнатной температуре, разбавляют 30 мл H₂O и экстрагируют CH₂Cl₂ (4 × 25 мл). Органическую фазу промывают H₂O (5 × 20 мл), сушат Na₂SO₄, упаривают и остаток перегоняют при пониженном давлении. Выход 10.32 г (72%), бесцветная жидкость, т. кип. 71–75°C (10 мм рт. ст.). Спектр ЯМР ¹H (400 МГц, CDCl₃), δ , м. д. (*J*, Гц): 1.59–1.75 (1H, м, CH₂); 1.76–2.14 (5H, м, CH₂); 2.46 (1H, с, OH); 2.60–2.71 (1H, м, 6-CH₂ экв.); 3.06 (1H, д. д. д, *J* = 13.4, *J* = 12.9, *J* = 2.6, 6-CH₂ акс.). Спектр ЯМР ¹³C (100 МГц, CDCl₃), δ , м. д. (*J*, Гц): 20.1, 25.8, 25.9, 31.0 (все с, C-3–6); 79.8 (к, *J*_{CF} = 30, C-2); 124.8 (к, *J*_{CF} = 285, CF₃). Спектр ЯМР ¹⁹F (376 МГц, CDCl₃), δ , м. д.: –79.39

(с, CF₃). Масс-спектр, m/z ($I_{\text{отн}}$, %): 186 [M]⁺ (55), 168 [M–H₂O]⁺ (19), 152 (32), 117 [M–CF₃]⁺ (100), 83 (35), 55 (51), 45 (20). Найдено, %: С 38.65; Н 4.80; S 17.29. C₆H₉F₃OS. Вычислено, %: С 38.71; Н 4.87; S 17.22.

3-(Трифторметил)тиетан-3-ол (3с). К раствору 26.44 г (300 ммоль) тиетан-3-она (**1с**) в 300 мл ДМФА добавляют 2.10 г (15 ммоль) тонко растертого K₂CO₃. Полученную суспензию интенсивно перемешивают и по каплям добавляют 59.51 г (418 ммоль) TMSCF₃ с такой скоростью, чтобы температура реакционной смеси была в интервале 20–30°C. По окончании добавления смесь перемешивают в течение 1 ч и добавляют 50 мл H₂O, контролируя вспенивание из-за выделения газобразных продуктов (преимущественно HCF₃). Реакционную смесь подкисляют ~5 мл концентрированной HCl до кислой среды и оставляют на ночь при комнатной температуре. Добавляют 300 мл H₂O и полученную эмульсию экстрагируют МТБЭ (6 × 50 мл). Органическую фазу промывают 1 М NaHSO₃ (2 × 50 мл), H₂O (5 × 25 мл), сушат Na₂SO₄, растворитель упаривают при пониженном давлении и остаток перегоняют. Выход 19.03 г (72%), бесцветная жидкость, т. кип. 69–73°C (15 мм рт. ст.). Спектр ЯМР ¹H (400 МГц, CDCl₃), δ, м. д. (J , Гц): 3.08 (1H, уш. с, OH); 3.26 (2H, д, J = 11.2, 2,4-CH₂); 3.61 (2H, д, J = 11.2, 2,4-CH₂). Спектр ЯМР ¹³C (126 МГц, CDCl₃), δ, м. д. (J , Гц): 32.7 (к, J_{CF} = 2, C-2,4); 76.7 (к, J_{CF} = 33, C-3); 124.2 (к, J_{CF} = 283, CF₃). Спектр ЯМР ¹⁹F (376 МГц, CDCl₃), δ, м. д.: –87.97 (с, CF₃). Масс-спектр, m/z ($I_{\text{отн}}$, %): 158 [M]⁺ (58), 69 [CF₃]⁺ (11), 47 (14), 46 (100), 45 (26). Найдено, %: С 30.32; Н 3.17; S 20.34. C₄H₅F₃OS. Вычислено, %: С 30.38; Н 3.19; S 20.28.

3-(Трифторметил)тетрагидротиофен-3-ол (3д) получают аналогично из 30.65 г (300 ммоль) тетрагидротиофен-3-она (**1д**). Выход 30.17 г (58%), бесцветная жидкость, т. кип. 84–85°C (14 мм рт. ст.). Спектр ЯМР ¹H (400 МГц, CDCl₃), δ, м. д. (J , Гц): 2.17 (1H, д. д. д, J = 13.0, J = 11.0, J = 7.9, 4-CH₂); 2.27 (1H, д. д. д, J = 13.0, J = 6.4, J = 1.5, 4-CH₂); 2.75 (1H, уш. с, OH); 2.86 (1H, д, J = 12.0, 2-CH₂); 3.01 (1H, д. д. д, J = 10.9, J = 7.9, J = 1.5, 5-CH₂); 3.13 (1H, д. д. д, J = 11.0, J = 10.9, J = 6.4, 5-CH₂); 3.24 (1H, д, J = 12.0, 2-CH₂). Спектр ЯМР ¹³C (126 МГц, CDCl₃), δ, м. д. (J , Гц): 28.8 (с, C-5); 37.5, 37.9 (оба с, C-2,4); 83.3 (к, J_{CF} = 30, C-3); 125.3 (к, J_{CF} = 284, CF₃). Спектр ЯМР ¹⁹F (376 МГц, CDCl₃), δ, м. д.: –80.61 (с, CF₃). Масс-спектр, m/z ($I_{\text{отн}}$, %): 172 [M]⁺ (100), 154 [M–H₂O]⁺ (17), 85 (42), 69 [CF₃]⁺ (9), 60 (54), 47 (26), 45 (27). Найдено, %: С 34.85; Н 4.08; S 18.70. C₅H₇F₃OS. Вычислено, %: С 34.88; Н 4.10; S 18.62.

3-(Трифторметил)тетрагидро-2H-тиопиран-2-ол (3е) получают аналогично из 34.85 г (300 ммоль) тетрагидротиопиран-3-она (**1е**). Выход 34.07 г (61%), бледно-желтая жидкость, т. кип. 85–90°C (15 мм рт. ст.). Спектр ЯМР ¹H (400 МГц, CDCl₃), δ, м. д. (J , Гц): 1.57 (1H, д. д. д, J = 13.4, J = 8.7, J = 6.6, 4-CH₂ акс.); 1.91–2.03 (3H, м, CH₂); 2.44–2.51 (1H, м, CH₂); 2.54–2.61 (1H, м, CH₂); 2.64 (1H, д. д. д, J = 13.6, J = 2.3, J = 2.3, 2-CH₂ экв.); 2.96 (1H, д, J = 13.6, 2-CH₂ акс.); 3.30 (1H, уш. с, OH). Спектр ЯМР ¹³C (100 МГц, CDCl₃), δ, м. д. (J , Гц):

22.1, 27.7, 29.5, 33.6 (все с, C-2,4,5,6); 69.1 (к, J_{CF} = 28, C-3); 125.7 (к, J_{CF} = 285, CF₃). Спектр ЯМР ¹⁹F (376 МГц, CDCl₃), δ, м. д.: –80.61 (с, CF₃). Масс-спектр, m/z ($I_{\text{отн}}$, %): 186 [M]⁺ (100), 168 [M–H₂O]⁺ (42), 99 (42), 69 [CF₃]⁺ (27), 61 (63), 46 (42). Найдено, %: С 38.69; Н 4.85; S 17.30. C₆H₉F₃OS. Вычислено, %: С 38.71; Н 4.87; S 17.22.

4-(Трифторметил)тетрагидро-2H-тиопиран-4-ол (3ф). В 18 мл ДМФА 4.14 г (36 ммоль) тиопиран-4-она (**1ф**) взаимодействуют с 6.33 г (44 ммоль) TMSCF₃ и 0.49 г (3.5 ммоль) K₂CO₃, как описано выше для получения сильного эфира **2ф**. После добавления TMSCF₃ добавляют 5 мл H₂O и 1 мл концентрированной HCl. Смесь перемешивают в течение 1 ч и оставляют на ночь при комнатной температуре. Добавляют 50 мл H₂O и полученную эмульсию экстрагируют МТБЭ (4 × 20 мл). Объединенные органические фазы промывают H₂O (5 × 20 мл), сушат Na₂SO₄, упаривают и остаток перегоняют. Собирают фракцию 85–92°C (12 мм рт. ст.), представляющую собой желтое полутвердое вещество. После кристаллизации из гексана получают чистое соединение **3ф**. Выход 4.64 г (70%), бесцветные кристаллы, т. пл. 38–39°C. Спектр ЯМР ¹H (400 МГц, CDCl₃), δ, м. д. (J , Гц): 1.96 (2H, д. д. д, J = 13.9, J = 12.6, J = 3.8, 3,5-CH₂ акс. перекрывается 1H, уш. с, OH); 2.08 (2H, д. д. д, J = 13.9, J = 3.3, J = 2.8, 3,5-CH₂ экв.); 2.48 (2H, д. д. д, J = 14.2, J = 3.8, J = 3.3, 2,6-CH₂ экв.); 3.04 (2H, д. д. д, J = 14.2, J = 12.6, J = 2.8, 2,6-CH₂ акс.). Спектр ЯМР ¹³C (151 МГц, CDCl₃), δ, м. д. (J , Гц): 22.7 (с, C-2,6); 31.1 (к, J_{CF} = 1.5, C-3,5); 71.9 (к, J_{CF} = 28, C-4); 125.9 (к, J_{CF} = 285, CF₃). Спектр ЯМР ¹⁹F (376 МГц, CDCl₃), δ, м. д.: –86.67 (с, CF₃). Масс-спектр, m/z ($I_{\text{отн}}$, %): 186 [M]⁺ (42), 168 [M–H₂O]⁺ (24), 99 (100), 69 [CF₃]⁺ (10), 46 (24), 45 (18). Найдено, %: С 38.65; Н 4.80; S 17.30. C₆H₉F₃OS. Вычислено, %: С 38.71; Н 4.87; S 17.22.

5-(Трифторметил)-2,3-дигидротиофен (4а). Смесь 19.80 г (115 ммоль) 2-гидроксипроизводного **3а** и 1.90 г (10 ммоль) TsOH·H₂O перемешивают и нагревают на масляной бане при температуре бани 150–200°C до окончания отгонки летучих продуктов. Мутноватый дистиллят разбавляют 20 мл CH₂Cl₂, промывают 1 М NaHCO₃, органический слой сушат Na₂SO₄ и перегоняют при атмосферном давлении. Выход 12.56 г (71%), бледно-желтая жидкость, т. кип. 127–129°C. Спектр ЯМР ¹H (400 МГц, CDCl₃), δ, м. д. (J , Гц): 2.90 (2H, т. д. к, J_{HH} = 8.7, J_{HH} = 3.1, J_{HF} = 3.0, 3-CH₂); 3.42 (2H, т, J = 8.7, 2-CH₂); 6.15 (1H, т. к, J_{HH} = 3.1, J_{HF} = 1.6, 4-CH). Спектр ЯМР ¹³C (126 МГц, CDCl₃), δ, м. д. (J , Гц): 33.8, 35.6 (оба с, C-2,3); 121.6 (к, J_{CF} = 271, CF₃); 127.2 (к, J_{CF} = 5, C-4); 132.7 (к, J_{CF} = 36, C-5). Спектр ЯМР ¹⁹F (376 МГц, CDCl₃), δ, м. д.: –63.66 (с, CF₃). Масс-спектр, m/z ($I_{\text{отн}}$, %): 154 [M]⁺ (70), 133 (37), 115 (18), 85 (100), 69 [CF₃]⁺ (15), 45 (20). Найдено, %: С 38.87; Н 3.21; S 20.90. C₅H₅F₃S. Вычислено, %: С 38.96; Н 3.27; S 20.80.

6-(Трифторметил)-3,4-дигидро-2H-тиопиран (4б). Смесь 9.31 г (50 ммоль) гидроксипроизводного **3б** и 0.95 г (5 ммоль) TsOH·H₂O в 25 мл PhH кипятят в колбе с насадкой Дина–Старка до отделения ~30 мл

H₂O. Реакционную смесь охлаждают, промывают 1 М NaHCO₃ (3 × 5 мл) и органическую фазу сушат Na₂SO₄. PhH отгоняют при атмосферном давлении пока температура паров не достигнет 90°C. Остаток перегоняют при пониженном давлении. Выход 7.15 г (85%), бледно-желтая жидкость, т. кип. 61–65°C (16 мм рт. ст.). Спектр ЯМР ¹H (400 МГц, CDCl₃), δ, м. д. (J, Гц): 1.98–2.06 (2H, м, 3-CH₂); 2.23–2.38 (2H, м, 4-CH₂); 2.93 (2H, т, J = 5.2, 2-CH₂); 6.33–6.42 (1H, м, 5-CH). Спектр ЯМР ¹³C (126 МГц, CDCl₃), δ, м. д. (J, Гц): 21.6, 23.6, 26.4 (все с, C-2–4); 122.5 (к, J_{CF} = 273, CF₃); 124.8 (к, J_{CF} = 5, H-5); 125.0 (к, J_{CF} = 33, C-6). Спектр ЯМР ¹⁹F (376 МГц, CDCl₃), δ, м. д.: –67.62 (с, CF₃). Масс-спектр, m/z (I_{отн.}, %): 168 [M]⁺ (85), 153 (25), 133 (25), 99 (100), 71 (61), 45 (21). Найдено, %: С 42.80; Н 4.18; S 19.17. C₆H₇F₃S. Вычислено, %: С 42.85; Н 4.20; S 19.06.

3-Гидрокси-3-(трифторметил)тетран-1,1-диоксид (4с). К перемешиваемому раствору 31.63 г (200 ммоль) соединения **3с** в 25 мл AcOH медленно добавляют 19.43 г (200 ммоль) 35% H₂O₂, поддерживая температуру смеси в интервале 30–40°C. Затем добавляют вторую порцию 35% H₂O₂ (29.20 г, 300 ммоль) и кипятят в течение 5 ч, при этом происходит полное окисление в сульфон и разложение избытка H₂O₂. Реакционную смесь упаривают, остаток сушат до постоянного веса при давлении 0.05–0.07 мм рт. ст. и перекристаллизовывают из минимального количества МТБЭ. После упаривания маточника и кристаллизации остатка из CHCl₃ получают дополнительное количество продукта. Общий выход сульфона **4с** 32.51 г (85%), бесцветные кристаллы, т. пл. 72–73°C. Спектр ЯМР ¹H (400 МГц, CDCl₃), δ, м. д. (J, Гц): 3.20 (1H, уш. с, OH); 4.23 (2H, д, J = 14.9, 2,4-CH₂); 4.60 (2H, д, J = 14.9, 2,4-CH₂). Спектр ЯМР ¹³C (151 МГц, CDCl₃), δ, м. д. (J, Гц): 63.3 (к, J_{CF} = 36, C-3); 72.6 (с, C-2,4); 123.7 (к, J_{CF} = 281, CF₃). Спектр ЯМР ⁹F (376 МГц, CDCl₃), δ, м. д.: –83.21 (с, CF₃). Масс-спектр, m/z (I_{отн.}, %): 109 (100), 69 [CF₃]⁺ (23), 64 (29), 57 (91), 56 (26), 42 (48). Найдено, %: С 25.19; Н 2.60; S 16.99. C₄H₅F₃O₃S. Вычислено, %: С 25.27; Н 2.65; S 16.86.

3-Гидрокси-3-(трифторметил)тетрагидрофен-1,1-диоксид (4д). К перемешиваемому раствору 30.13 г (175 ммоль) соединения **3д** в 350 мл CH₂Cl₂ добавляют частями 68 г (394 ммоль) 85% МСРВА с такой скоростью, чтобы смесь слабо кипела. После окончания добавления окислителя смесь дополнительно кипятят в течение 10 мин, охлаждают в ледяной бане, фильтруют и осадок на фильтре промывают CH₂Cl₂ (4 × 25 мл). Фильтрат упаривают, к остатку добавляют 200 мл H₂O, полученную суспензию нагревают при перемешивании до 50°C и оставляют охлаждаться до комнатной температуры. Выпавший осадок отфильтровывают, промывают H₂O (2 × 25 мл), водный фильтрат упаривают досуха и полученный остаток кристаллизуют из PhH. Выход 35.04 г (98%), бесцветные кристаллы, т. пл. 87–88°C. Спектр ЯМР ¹H (400 МГц, CDCl₃), δ, м. д. (J, Гц): 2.40–2.60 (2H, м, 4-CH₂); 3.20–3.40 (3H, м, OH, 2,5-CH₂); 3.42 (1H, д, J = 14.0, 2-CH₂); 3.50 (1H, д. д. д, J = 12.9, J = 11.8, J = 8.0, 5-CH₂). Спектр ЯМР ¹³C

(126 МГц, CDCl₃): 30.0, 50.2, 58.1 (все с, C-2,4,5); 77.2 (к, J_{CF} = 32, C-3); 124.1 (к, J_{CF} = 283, CF₃). Спектр ЯМР ¹⁹F (376 МГц, CDCl₃), δ, м. д.: –83.34 (с, CF₃). Масс-спектр, m/z (I_{отн.}, %): 204 [M]⁺ (5), 112 (100), 92 (22), 71 (16), 64 (22), 42 (18). Найдено, %: С 29.35; Н 3.43; S 15.80. C₅H₇F₃O₃S. Вычислено, %: С 29.42; Н 3.46; S 15.70.

3-Гидрокси-3-(трифторметил)тетрагидропиран-1,1-диоксид (4е) получают аналогично из 32.58 г (175 ммоль) гидроксисульфида **3е** и 68 г (394 ммоль) 85% МСРВА. Сырой продукт перекристаллизовывают из PhH. Выход 89%, бесцветные кристаллы, т. пл. 112–113°C. Спектр ЯМР ¹H (400 МГц, CDCl₃), δ, м. д. (J, Гц): 1.72 (1H, д. д. д, J = 13.9, J = 13.9, J = 3.9, 4-CH₂ акс.); 2.08–2.16 (1H, м, 4-CH₂ экв.); 2.22 (1H, д. д. д, J = 14.8, J = 3.9, J = 3.7, J = 3.6, J = 3.6, 5-CH₂ экв.); 2.43 (1H, д. д. д, J = 14.8, J = 13.9, J = 13.9, J = 3.4, J = 3.1, 5-CH₂ акс.); 3.03 (1H, д. д. д, J = 13.9, J = 13.9, J = 3.7, 6-CH₂ акс.); 3.16–3.32 (3H, м, 6-CH₂ экв., 2-CH₂); 4.36 (1H, уш. с, OH). Спектр ЯМР ¹³C (100 МГц, CDCl₃), δ, м. д. (J, Гц): 18.1, 28.7, 51.3, 52.9 (все с, C-2,4,5,6); 73.8 (к, J_{CF} = 30, C-3); 124 (к, J_{CF} = 285, CF₃). Спектр ЯМР ¹⁹F (376 МГц, CDCl₃), δ, м. д.: –85.24 (с, CF₃). Масс-спектр, m/z (I_{отн.}, %): 201 [M–OH]⁺ (1), 177 (7), 149 [M–CF₃]⁺ (100), 67 (16), 43 (14), 42 (25), 41 (23). Найдено, %: С 32.96; Н 4.14; S 14.81. C₆H₉F₃O₃S. Вычислено, %: С 33.03; Н 4.16; S 14.69.

4-(Трифторметил)-3,6-дигидро-2H-тиопиран (4ф). Смесь, содержащую 5.59 г (30 ммоль) соединения **3ф**, 11.87 г (150 ммоль) пиридина и 5.06 г (33 ммоль) POCl₃, кипятят при перемешивании в течение 4 ч. Охлаждают, добавляют при перемешивании ~30 г льда и полученную эмульсию экстрагируют CH₂Cl₂ (6 × 5 мл). Объединенные органические экстракты промывают H₂O (5 × 5 мл), сушат Na₂SO₄ и упаривают. Остаток перегоняют при пониженном давлении. Выход 3.82 г (76%), бледно-коричневое масло, т. кип. 73–75°C (19 мм рт. ст.). Спектр ЯМР ¹H (400 МГц, CDCl₃), δ, м. д. (J, Гц): 2.39–2.47 (2H, м, 3-CH₂); 2.78 (2H, т, J = 5.8, 2-CH₂); 3.22–3.29 (2H, м, 6-CH₂); 6.47–6.52 (1H, м, 5-CH). Спектр ЯМР ¹³C (100 МГц, CDCl₃), δ, м. д. (J, Гц): 23.1 (к, ³J_{CF} = 1, C-3); 24.0, 24.8 (оба с, C-2,6); 123.7 (к, ¹J_{CF} = 273, CF₃); 127.1 (к, ³J_{CF} = 6, C-5); 129.3 (к, ²J_{CF} = 30, C-4). Спектр ЯМР ¹⁹F (376 МГц, CDCl₃), δ, м. д.: –71.16 (с, CF₃). Масс-спектр, m/z (I_{отн.}, %): 168 [M]⁺ (66), 115 (16), 99 (100), 46 (51), 45 (30). Найдено, %: С 42.75; Н 4.18; S 19.18. C₆H₇F₃S. Вычислено, %: С 42.85; Н 4.20; S 19.06.

5-(Трифторметил)-2,3-дигидрофен-1,1-диоксид (5а). К перемешиваемому раствору 12.56 г (81.5 ммоль) дигидрофена **4а** в 10 мл AcOH медленно прикапывают 7.92 г (81.5 ммоль) 35% H₂O₂, поддерживая температуру смеси в интервале 30–40°C. Затем добавляют вторую порцию 35% H₂O₂ (11.88 г, 175 ммоль), позволяя температуре подняться до 80°C. Смесь перемешивают в течение 2 ч на водяной бане при температуре бани 80°C и оставляют на ночь в морозильнике при –15°C. Кристаллический продукт **5а** отфильтровывают, промывают H₂O и сушат на воздухе при 50–60°C. Водный фильтрат концентрируют до 10 мл, добавляют

4.00 г (41 ммоль) 35% H₂O₂, нагревают в течение 2 ч при 80°C, охлаждают и отфильтровывают дополнительное количество выпавшего сульфона **5a**. Общий выход 11.36 г (75%), бесцветные кристаллы, т. пл. 112–114°C. Спектр ЯМР ¹H (400 МГц, CDCl₃), δ, м. д. (*J*, Гц): 2.97–3.10 (2H, м, 3-CH₂); 3.45 (т, *J* = 6.2, 2-CH₂); 7.19–7.24 (1H, м, 4-CH). Спектр ЯМР ¹³C (126 МГц, CDCl₃), δ, м. д. (*J*, Гц): 24.0 (с, C-3); 49.7 (к, *J*_{CF} = 1, C-2); 119.9 (к, *J*_{CF} = 273, CF₃); 136.5 (к, *J*_{CF} = 37, C-5); 142.9 (к, *J*_{CF} = 4, C-4). Спектр ЯМР ¹⁹F (376 МГц, CDCl₃), δ, м. д.: –61.56 (с, CF₃). Масс-спектр, *m/z* (*I*_{отн.}, %): 186 [M]⁺ (3), 101 (29), 89 (100), 75 (23), 69 [CF₃]⁺ (36), 53 (37). Найдено, %: С 32.20; Н 2.65; S 17.30. C₅H₅F₃O₂S. Вычислено, %: С 32.26; Н 2.71; S 17.22.

6-(Трифторметил)-3,4-дигидро-2H-тиопиран-1,1-диоксид (5b). К раствору 25.23 г (150 ммоль) соединения **4b** в 30 мл AcOH медленно добавляют 14.60 г (150 ммоль) 35% H₂O₂ поддерживая температуру смеси в интервале 30–40°C. Затем добавляют вторую порцию 35% H₂O₂ (28.00 г, 288 ммоль), нагревают в течение 6 ч при температуре бани 80°C и оставляют смесь на ночь в морозильнике при –15°C. Кристаллический продукт отфильтровывают, промывают H₂O и сушат при давлении 0.05–0.07 мм рт. ст. до постоянного веса. Фильтрат экстрагируют CH₂Cl₂ (4 × 50 мл), органическую фазу концентрируют и остаток кристаллизуют из смеси 5 мл AcOH и 5 мл H₂O, получая дополнительное количество продукта. Общий выход соединения **5b** 25.50 г (85%), бесцветные кристаллы, т. пл. 52–53°C. Спектр ЯМР ¹H (400 МГц, CDCl₃), δ, м. д. (*J*, Гц): 2.41–2.49 (2H, м, 3-CH₂); 2.52–2.59 (2H, м, 4-CH₂); 3.25–3.29 (2H, м, 2-CH₂); 6.95–6.99 (1H, м, 5-CH). Спектр ЯМР ¹³C (126 МГц, CDCl₃), δ, м. д. (*J*, Гц): 20.2, 25.0, 51.6 (все с, C-2–4); 120.4 (к, *J*_{CF} = 276, CF₃); 133.5 (к, *J*_{CF} = 32, C-6); 142.8 (к, *J*_{CF} = 5, C-5). Спектр ЯМР ¹⁹F ЯМР (376 МГц, CDCl₃), δ, м. д.: –61.97 (с, CF₃). Масс-спектр, *m/z* (*I*_{отн.}, %): 200 [M]⁺ (1), 184 [M–O]⁺ (37), 167 (100), 155 (37), 147 (58), 71 (31), 69 [CF₃]⁺ (29), 39 (29). Найдено, %: С 35.90; Н 3.50; S 16.09. C₆H₇F₃O₂S. Вычислено, %: С 36.00; Н 3.52; S 16.02.

Получение сульфонов 5c–e (общая методика II). К суспензии 170 ммоль сульфона **4c–e** в 170 мл CHCl₃ при перемешивании и охлаждении на ледяной бане добавляют раствор 38 г (217 ммоль) MOST в 50 мл CHCl₃. Через 5 мин смесь становится гомогенной, перемешивание и охлаждение продолжают в течение 3 ч. Затем добавляют 200 мл ледяной H₂O, органический слой отделяют, водную фазу экстрагируют CHCl₃ (2 × 50 мл). Объединенные органические фазы промывают H₂O, сушат Na₂SO₄ и упаривают. Остаток растворяют в минимальном объеме EtOAc, фильтруют через небольшой слой силикагеля для удаления неидентифицированных желтых примесей. Фильтрат упаривают.

3-(Трифторметил)-2H-тиет-1,1-диоксид (5c) получают из 32.32 г (170 ммоль) сульфона **4c**, перекристаллизовывают из МТБЭ. Выход 25.16 г (86%), бесцветные кристаллы, т. пл. 100–101°C. Спектр ЯМР ¹H (400 МГц, CDCl₃), δ, м. д.: 4.71 (2H, с, 2-CH₂); 7.17 (1H, с, 4-CH). Спектр ЯМР ¹³C (126 МГц, CDCl₃), δ, м. д. (*J*, Гц): 69.5

(с, C-2); 119.7 (к, *J*_{CF} = 271, CF₃); 137.6 (к, *J*_{CF} = 42, C-3); 149.7 (к, *J*_{CF} = 3, C-4). Спектр ЯМР ¹⁹F (376 МГц, CDCl₃), δ, м. д.: –67.55 (с, CF₃). Масс-спектр, *m/z* (*I*_{отн.}, %): 140 (2), 126 (100), 109 (46), 89 (25), 71 (63), 69 [CF₃]⁺ (31), 57 (47). Найдено, %: С 27.90; Н 1.75; S 18.69. C₄H₃F₃O₂S. Вычислено, %: С 27.91; Н 1.76; S 18.63.

4-(Трифторметил)-2,3-дигидротиофен-1,1-диоксид (5d) получают из 34.71 г (170 ммоль) гидроксисульфона **4d**. Сырой продукт кристаллизуют из PhH. Выход 28.90 г (91%), бесцветные кристаллы, т. пл. 116–117°C. Спектр ЯМР ¹H (400 МГц, CDCl₃), δ, м. д. (*J*, Гц): 3.05 (2H, т, *J* = 7.0, 3-CH₂); 3.48 (2H, т, 2-CH₂); 7.11 (1H, с, 5-CH). Спектр ЯМР ¹³C (126 МГц, CDCl₃), δ, м. д. (*J*, Гц): 23.8, 49.1 (оба с, C-2,3); 121.0 (к, *J*_{CF} = 273, CF₃); 133.8 (к, *J*_{CF} = 4, C-5); 139.9 (к, *J*_{CF} = 37, C-4). Спектр ЯМР ¹⁹F (376 МГц, CDCl₃), δ, м. д.: –69.15 (с, CF₃). Масс-спектр, *m/z* (*I*_{отн.}, %): 186 [M]⁺ (3), 157 (100), 125 (63), 101 (70), 69 (72), 53 (97), 51 (72), 45 (41). Найдено, %: С 32.20; Н 2.68; S 17.29. C₅H₅F₃O₂S. Вычислено, %: С 32.26; Н 2.71; S 17.22.

5-(Трифторметил)-3,4-дигидро-2H-тиопиран-1,1-диоксид (5e) получают из 37.09 г (170 ммоль) гидроксисульфона **4e**. Сырой продукт кристаллизуют из смеси EtOAc–гексан, 1:2. Выход 30.62 г (90%), бесцветные кристаллы, т. пл. 70–72°C. Спектр ЯМР ¹H (400 МГц, CDCl₃), δ, м. д. (*J*, Гц): 2.37–2.57 (4H, м, 3,4-CH₂); 3.16–3.30 (2H, м, 2-CH₂); 6.85 (1H, с, 6-CH). Спектр ЯМР ¹³C (126 МГц, CDCl₃), δ, м. д. (*J*, Гц): 19.9, 22.5, 50.0 (все с, C-2–4); 121.5 (к, *J*_{CF} = 276, CF₃); 130.9 (к, *J*_{CF} = 5, C-6); 138.2 (к, *J*_{CF} = 32, C-5). Спектр ЯМР ¹⁹F (376 МГц, CDCl₃), δ, м. д.: –71.57 (с, CF₃). Масс-спектр, *m/z* (*I*_{отн.}, %): 200 [M]⁺ (1), 155 (95), 151 (57), 115 (63), 103 (95), 69 [CF₃]⁺ (45), 39 (100). Найдено, %: С 35.98; Н 3.48; S 16.18. C₆H₇F₃O₂S. Вычислено, %: С 36.00; Н 3.52; S 16.02.

5-(Трифторметил)-3,4-дигидро-2H-тиопиран-1,1-диоксид (5f). Получение дегидратацией (метод I). К раствору 1.090 г (5 ммоль) гидроксисульфона **4e** и 1.620 г (16 ммоль) Et₃N в 10 мл CH₂Cl₂ при температуре –30÷–25°C добавляют раствор 0.688 г (6 ммоль) MsCl в 6 мл CH₂Cl₂, перемешивают при этой температуре в течение 1 ч и оставляют нагреваться до комнатной температуры. Затем смесь промывают H₂O (5 × 2 мл), органический слой сушат Na₂SO₄ и упаривают. После колоночной хроматографии остатка на силикагеле (элюент CHCl₃) получают минорный продукт **5e** (0.010 г (1%), R_f 0.35) и основной продукт **5f** (0.280 г (28%), R_f 0.27) в виде бесцветных кристаллов с т. пл. 68–70°C.

Получение изомеризацией. Раствор, содержащий 0.200 г (1 ммоль) сульфона **5e** и 0.102 г (1 ммоль) Et₃N в 1 мл CH₂Cl₂, выдерживают при комнатной температуре в течение 24 ч и концентрируют. Остаток хроматографируют на силикагеле (элюент CHCl₃). Получают 0.197 г (98%) соединения **5f**. Спектр ЯМР ¹H (400 МГц, CDCl₃), δ, м. д. (*J*, Гц): 2.85–2.99 (2H, м, 3-CH₂); 3.13 (2H, д, *J* = 6.3, 2-CH₂); 3.71 (2H, с, 6-CH₂); 6.53–6.59 (1H, м, 4-CH). Спектр ЯМР ¹³C (126 МГц, CDCl₃), δ, м. д. (*J*, Гц): 24.9, 46.2, 47.6 (все с, C-2,3,6); 121.8 (к, *J*_{CF} = 273,

CF₃); 122.6 (к, $J_{CF} = 33$, C-5); 129.8 (к, $J_{CF} = 5$, C-4). Спектр ЯМР ¹⁹F (376 МГц, CDCl₃), δ, м. д.: -70.31 (с, CF₃). Масс-спектр, m/z ($I_{отн.}$, %): 200 [M]⁺ (2), 136 [M-SO₂]⁺ (53), 135 (51), 115 (49), 69 [CF₃]⁺ (11), 67 (100), 39 (32). Найдено, %: С 35.99; Н 3.51; S 16.19. C₆H₇F₃O₂S. Вычислено, %: С 36.00; Н 3.52; S 16.02.

3-Амино-2-(трифторметил)гетан-1,1-диоксид (6). К суспензии 43.03 г (250 ммоль) сульфона **5c** в 100 мл ТГФ добавляют 40 г (~580 ммоль) 25% водного аммиака при перемешивании и охлаждении в ледяной бане. Смесь перемешивают в течение 2 ч, охлаждение убирают и оставляют при комнатной температуре на ночь. Суспензию концентрируют при пониженном давлении, желтый полутвердый остаток кристаллизуют из 50 мл MeOH. Из маточника после концентрирования до 20 мл выделяется дополнительное количество продукта. Общий выход амина **6** 43.93 г (93%), бесцветные кристаллы, т. пл. 130–132°C. Спектр ЯМР ¹H (400 МГц, CDCl₃), δ, м. д. (J , Гц): 2.02 (2H, уш. с, NH₂); 3.98 (2H, д, $J = 14.8$, 2,4-CH₂); 4.51 (2H, д, $J = 14.8$, 2,4-CH₂). Спектр ЯМР ¹³C (126 МГц, CDCl₃): 46.8 (к, $J_{CF} = 33$, C-3); 72.1 (с, C-2,3); 125.3 (к, $J_{CF} = 281$, CF₃). Спектр ЯМР ¹⁹F (376 МГц, CDCl₃), δ, м. д.: -82.66 (с, CF₃). Масс-спектр, m/z ($I_{отн.}$, %): 189 [M]⁺ (1), 111 [M-SO₂-CH₂]⁺ (83), 69 [CF₃]⁺ (16), 56 (12), 42 (100), 41 (21). Найдено, %: С 25.39; Н 3.16; S 17.03. C₄H₆F₃NO₂S. Вычислено, %: С 25.40; Н 3.20; S 16.95.

3-(Карбоксиметиламино)-3-(трифторметил)гетан-1,1-диоксид (7). Смесь 0.50 г (6.6 ммоль) глицина, 0.56 г (6.7 ммоль) NaHCO₃ и 3 мл H₂O кипятят при перемешивании до окончания выделения CO₂. Добавляют раствор 1.20 г (7.0 ммоль) сульфона **5c** в 1 мл MeOH и смесь перемешивают в течение 8 ч при комнатной температуре. Полученный прозрачный раствор концентрируют при пониженном давлении, остаток растворяют в 3 мл H₂O, промывают EtOAc (2 × 5 мл), водный слой подкисляют 0.8 мл 30% HCl и оставляют на ночь. Осадок отфильтровывают, промывают холодной H₂O и сушат. Выход 1.09 г (66%), т. пл. 147–148°C. Спектр ЯМР ¹H (400 МГц, DMSO-*d*₆), δ, м. д. (J , Гц): 3.41 (2H, с, CH₂); 3.60 (1H, уш. с, NH); 4.41 (2H, д, $J = 14.4$, 2,4-CH₂); 4.49 (2H, д, $J = 14.1$, 2,4-CH₂); 12.60 (1H, уш. с, OH). Спектр ЯМР ¹³C (126 МГц, DMSO-*d*₆), δ, м. д. (J , Гц): 45.2 (с, NHCH₂COOH); 48.5 (к, $J_{CF} = 31$, C-3); 69.6 (с, C-2,4); 125.7 (к, $J_{CF} = 287$, CF₃); 172.1 (с, C=O). Спектр ЯМР ¹⁹F (376 МГц, DMSO-*d*₆), δ, м. д.: -75.80 (с, CF₃). Масс-спектр, m/z ($I_{отн.}$, %): 265 [M+H₂O]⁺ (12), 247 [M]⁺ (29), 179 [M-CF₃+H]⁺ (4), 157 (100). Найдено, %: С 29.11; Н 3.22; S 13.06. C₆H₈F₃NO₄S. Вычислено, %: С 29.15; Н 3.26; S 12.97.

(1SR,5RS)-1-(Трифторметил)-3,6-дигидроиндол-3,2,0[гептан-6,6-диоксид (8). К раствору 0.5 г (2.9 ммоль) соединения **5c** в 10 мл MeCN добавляют 0.74 г (4.4 ммоль) хлорметилтриметилсилилметилсульфида и 5.8 мл (5.8 ммоль) 1 М раствора ТВАФ в ТГФ. Раствор перемешивают при комнатной температуре в течение 18 ч и растворители упаривают при пониженном давлении. Остаток растворяют в 30 мл МТБЭ, промывают H₂O (3 × 10 мл), сушат Na₂SO₄,

упаривают и очищают колоночной хроматографией на силикагеле, используя смесь гексан–МТБЭ с градиентом от 0 до 100%. Выход 0.2 г (30%), бесцветные кристаллы, т. пл. 118–120°C. Спектр ЯМР ¹H (400 МГц, CDCl₃), δ, м. д. (J , Гц): 2.93 (1H, д, $J = 12.5$, 2-CH₂); 3.22 (1H, д, $J = 12.5$, 2-CH₂); 3.23 (1H, д, $J = 13.5$, 4-CH₂); 3.46 (1H, д, $J = 13.5$, 4-CH₂); 4.16 (1H, д, $J = 14.1$, 7-CH₂); 4.43 (1H, д, $J = 14.1$, $J = 3.0$, 7-CH₂); 4.84–4.89 (1H, м, 5-CH). Спектр ЯМР ¹³C (126 МГц, CDCl₃), δ, м. д. (J , Гц): 33.0, 37.8 (оба с, C-2,4); 48.0 (к, $J_{CF} = 31$, C-1); 70.5 (с, C-7); 85.5 (с, C-5); 126.7 (к, $J_{CF} = 281$, CF₃). Спектр ЯМР ¹⁹F (376 МГц, CDCl₃), δ, м. д.: -72.87 (с, CF₃). Масс-спектр, m/z ($I_{отн.}$, %): 232 [M]⁺ (10), 167 [M-SO₂+H]⁺ (100), 147 (80), 133 (45), 115 (28), 97 (40). Найдено, %: С 31.22; Н 2.96; S 27.90. C₆H₇F₃O₂S₂. Вычислено, %: С 31.03; Н 3.04; S 27.61.

(3aSR,6aRS)-3a-(Трифторметил)гексагидроиндо- [3,4-*b*]тиофен-1,1-диоксид (9) получают аналогично из 0.5 г (2.7 ммоль) соединения **5d**. Выход 0.4 г (60%), бесцветные кристаллы, т. пл. 116–118°C. Спектр ЯМР ¹H (400 МГц, CDCl₃), δ, м. д. (J , Гц): 2.34 (1H, д, $J = 14.8$, $J = 7.5$, 3-CH₂); 2.67 (1H, д, $J = 14.8$, $J = 7.4$, 3-CH₂); 2.81 (1H, д, $J = 12.6$, 4-CH₂); 3.22 (1H, д, $J = 13.4$, $J = 7.3$, 6-CH₂); 3.28–3.38 (3H, м, 2,4-CH₂); 3.51 (1H, д, $J = 13.4$, 6-CH₂); 3.72 (1H, д, $J = 7.3$, 6a-CH). Спектр ЯМР (APT) ¹³C (126 МГц, CDCl₃), δ, м. д. (J , Гц): 28.2 (с, CH₂); 34.1 (с, CH₂); 40.2 (с, CH₂); 51.1 (с, CH₂); 61.7 (к, $J_{CF} = 26$); 66.8 (с, CH); 127.1 (к, $J_{CF} = 281$, CF₃). Спектр ЯМР ¹⁹F (376 МГц, CDCl₃), δ, м. д.: -74.25 (с, CF₃). Масс-спектр, m/z ($I_{отн.}$, %): 246 [M]⁺ (15), 181 [M-SO₂+H]⁺ (13), 153 (100), 133 (38). Найдено, %: С 34.34; Н 3.44; S 26.42. C₇H₉F₃O₂S₂. Вычислено, %: С 34.14; Н 3.68; S 26.04.

Рентгеноструктурное исследование соединения 8 проведено на приборе Bruker Smart Apex II, результаты расшифрованы прямым методом и уточнены МНК с использованием комплекса программ Bruker SHELXTL.¹³ Кристаллы для рентгеноструктурного исследования получены медленным упариванием раствора в МТБЭ. Полные рентгеноструктурные данные депонированы в Кембриджском банке структурных данных (депонент CCDC 2142934).

Файл сопроводительных материалов, содержащий спектры ЯМР ¹H, ¹³C и ¹⁹F всех полученных соединений и спектры COSY, ¹H–¹³C HSQC, NOESY и ¹H–¹⁹F NOESY соединения **9**, доступен на сайте журнала <http://hgs.osi.lv>.

Список литературы

- (a) Zhou, Y.; Wang, J.; Gu, Z.; Wang, S.; Zhu, W.; Aceña, J. L.; Soloshonok, V. A.; Izawa, K.; Liu, H. *Chem. Rev.* **2016**, *116*, 422. (b) Gakh, A. A.; Kirk, K. L. *Fluorinated Heterocycles, ACS Symposium Series*; American Chemical Society: Washington, 2009, vol. 1003, p. 3. (c) *Fluorinated Heterocyclic Compounds: Synthesis, Chemistry, and Applications*; Petrov, V. A., Ed.; John Wiley & Sons, 2009. (d) *Efficient Preparations of Fluorine Compounds*; Roesky, H. W., Ed.; John Wiley & Sons, 2012.
- Erlanson, D. A.; McDowell, R. S.; O'Brien, T. *J. Med. Chem.* **2004**, *47*, 3463.

3. (a) Serdyuk, O. V.; Abaev, V. T.; Butin, A. V.; Nenajdenko, V. G. *Synthesis* **2011**, 2505. (b) Shermolovich, Yu. G.; Pazenok, S. V. *Top. Heterocycl. Chem.* **2012**, 27, 101. (c) *Fluorine in Heterocyclic Chemistry. Vol. 1*; Nenajdenko, V. G., Ed.; Springer, 2014, p. 233.
4. (a) Renaud, R. N.; Champagne, P. J.; Savard, M. *Can. J. Chem.* **1979**, 57, 2617. (b) Dmowski, W.; Kozłowski, T. *J. Fluorine Chem.* **1998**, 87, 179.
5. (a) Prakash, G. K. S.; Krishnamurti, R.; Olah, G. A. *J. Am. Chem. Soc.* **1989**, 111, 393. (b) Prakash, G. K. S.; Yudin, A. K. *Chem. Rev.* **1997**, 97, 757. (c) Prakash, G. K. S.; Panja, C.; Vaghoo, H.; Surampudi, V.; Kultyshev, R.; Mandal, M.; Rasul, G.; Mathew, T.; Olah, G. A. *J. Org. Chem.* **2006**, 71, 6806. (d) Liu, X.; Xu, C.; Wang, M.; Liu, Q. *Chem. Rev.* **2015**, 115, 683. (e) Caron, S.; Do, N. M.; Arpin, P.; Larivée, A. *Synthesis* **2003**, 1693. (f) Mizuta, S.; Shibata, N.; Hibino, M.; Nagano, S.; Nakamura, S.; Toru, T. *Tetrahedron* **2007**, 63, 8521. (g) Hitoshi, N.; Yoshinobu, Y.; Teruaki, M. *Chem. Lett.* **2007**, 36, 666. (h) Mizuta, S.; Shibata, N.; Akita, S.; Fujimoto, H.; Nakamura, S.; Toru, T. *Org. Lett.* **2007**, 9, 3707.
6. Dallenbach, R.; Tissot, P. *J. Therm. Anal.* **1981**, 20, 409.
7. Patel, D. V.; Rielly-Gauvin, K.; Ryono, D. E. *Tetrahedron Lett.* **1988**, 29, 4665.
8. (a) Guanti, G.; Banfi, L.; Narisano, E. *Tetrahedron* **1988**, 44, 5553. (b) Thompson, A. S.; Corley, E. G.; Huntington, M. F.; Grabowski, E. J. J. *Tetrahedron Lett.* **1995**, 36, 8937.
9. (a) Fehnel, E. A. *J. Am. Chem. Soc.* **1952**, 74, 1569. (b) Kobayashi, T.; Tanaka, Yu.; Ohtani, T.; Kinoshita, H.; Inomata, K.; Kotake, H. *Chem. Lett.* **1987**, 16, 1209. (c) Collins, N.; Connon, R.; Sánchez-Sanz, G.; Evans, P. *Eur. J. Org. Chem.* **2020**, 6228.
10. (a) Box, J. M.; Harwood, L. M.; Humphreys, J. L.; Morris, G. A.; Redon, P. M.; Whitehead, R. C. *Synlett* **2002**, 358. (b) Begum, L.; Drew, M. G. B.; Humphreys, J. L.; Lowes, D. J.; Russi, P. R.; Whitby, H. L.; Whitehead, R. C. *Tetrahedron Lett.* **2004**, 45, 6249. (c) Bonacorso, H. G.; Porte, L. M. F.; Paim, G. R.; Luz, F. M.; Martins, M. A. P.; Zanatta, N. *Tetrahedron Lett.* **2010**, 51, 3759.
11. Markitanov, Yu. M.; Timoshenko, V. M.; Rudenko, T. V.; Rusanov, E. B.; Shermolovich, Yu. G. *J. Sulfur Chem.* **2019**, 40, 629.
12. Savych, V. I.; Mykhalchuk, V. L.; Melnychuk, P. V.; Isakov, A. O.; Savchuk, T.; Timoshenko, V. M.; Siry, S. A.; Pavlenko, S. O.; Kovalenko, D. V.; Hryshchuk, O. V.; Reznik, V. A.; Chalyk, B. A.; Yarmolchuk, V. S.; Rusanov, E. B.; Mykhailiuk, P. K. *J. Org. Chem.* **2021**, 86, 13289.
13. Sheldrick, G. *Acta Crystallogr., Sect. A: Found. Crystallogr.* **2008**, A64, 112.